

京大工正 西村直志
京大工正 小林昭一

1 序

筆者らは、以前に積分方程式法による弾塑性解析に関する研究を発表し[1]、その応用として面内クラック問題の二重層ポテンシャルと微分した物体ポテンシャルによる解表示を用いた数値解析を試みた。しかし、そこではクラックティップの塑性ひずみ速度の特異性を考慮しておらず、必然的に得られた解も十分な精度を有していないとは言えなかつた。本報では、この種の問題を再考するに先立ち、より簡単な面外クラック問題を採上げ、解の特異性を近似的に表現し得る数値解析法を考える。なお、クラックを扱った他の研究としてMojarradらのもの[2]があるが、彼らの言うクラックとは偏平な構造であるのに対し、ここでは真のクラックを取り扱う。

2 定式化

簡単のために、無限領域 R^2 内にある单一クラック S を考える(図1)。物体がMisesの降伏条件に従う完全弾塑性体のとき、次の関係が成立[3]:

1: 面外変位 $w(x_1, x_2)$ は弾性域 D^e 、及び ∂D^e 上に $\tau =$

$$\Delta w = 0 \quad \text{in } D^e, \quad \frac{\partial w}{\partial n}^\pm = 0 \quad \text{on } S \quad (1)$$

を満たす。ここに添字 $(+)$ (-)は法線 n に関して正(負)方向からの極限値を表す。

2: 弾塑性域 D^p での w は θ (図1)のみの関数であつて、関係

$$\frac{\partial w}{\partial \theta} = r_y R(\theta) \quad (2)$$

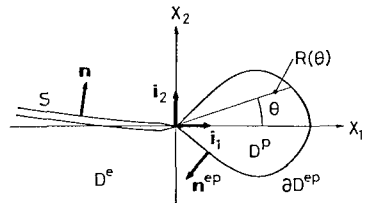


図 1

を満たす。 $\tau = r_y = \tau_y/\mu$, (τ_y : 降伏剪断力, μ : 剛性率), また R は図1に示す通りである。

3: 弾塑性域 D^p での応力 $\tau = \tau_{11} i_1 + \tau_{22} i_2$, 及び弾塑性境界 ∂D^p 上の表面力 $t = n \cdot \tau$ は各々

$$\tau = \tau_y (-i_1 \sin \theta + i_2 \cos \theta) \quad \text{in } D^p, \quad t = -\frac{\tau_y R'}{\sqrt{(R')^2 + R'^2}} \quad \text{on } \partial D^p \quad (3)$$

を満たす。ただし用いた座標はティップを原点とし、 x_1 軸と S が原点で接する様なものとする。

本報では τ に於ける変位 w を二重層ポテンシャルを用いて

$$w(x) = w_0(x) + \int_S \frac{\partial G}{\partial n_y}(x, y) \psi_1(y) dS_y + \int_{\partial D^p} \frac{\partial G}{\partial n_y}(x, y) \psi_2(y) dS_y \quad (4)$$

と表示する。ここで w_0 は $\Delta w_0 = 0$ を満たす far field, G はLaplace方程式の基本解

$$G(x, y) = \frac{1}{2\pi} \log \frac{1}{|x-y|}$$

ψ_1 , ψ_2 は各々適当な二重層密度である。この問題では ψ_1 , ψ_2 及び ∂D^p の位置が未知である。

3 可解性、解の不稳定性等について

まず式(4)の表示が適切かどうかをあらねばならない。以下ではある仮定された ∂D^p の位置について、式(1), (2)を満足する解を求める操作を叙述するが、その様な問題の解(Laplace方程式の解の意)の存在は認め、その解が

式④の表示を有する事を見る。実際、そのためには式③₂の表面力が ∂D^P 上で積分して0になる事

$$\int_{\partial D^P} \frac{R'}{\sqrt{(R^2 + R'^2)}} dS = \int_{-\pi/2}^{\pi/2} R' d\theta = 0$$

に注意すればよい。なお、同時に、 ψ が $\pi/2^\circ (x_I)$ に2

$$\psi^+ - \psi^- = \psi \text{ at } x_I$$

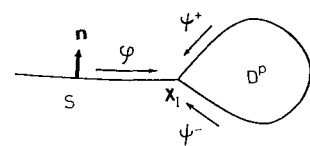


図 2

なる関係を満たさねばならない事もわかる(図2)。

Fredholm的対応を考えれば解の不定性が予想される。実際、式④の表示が2つの $\psi_i, \psi_j (i=1,2)$ について成立では、

$$\begin{aligned} \psi_1 &= \psi_2 \text{ on } S, \quad \psi_1 - \psi_2 = \text{const} \text{ on } \partial D^P \\ &\quad (\text{Const} \text{ は tip ごとに異. 乙もよい}) \end{aligned}$$

でなければならない。従って、特に次の様にしてψの不定性を除いてよい。

$$\psi^+ = \psi, \quad \psi^- = 0 \quad \text{at } x_I \quad (5)$$

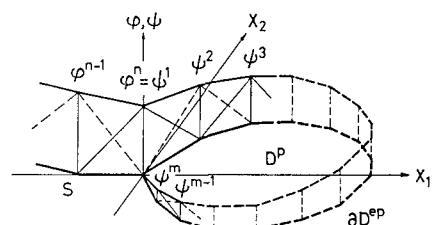


図 3

4 数値解析法、及び数値例

以下では次の方法を用いて数値計算を行つ。

1) 適当に ∂D^P の初期形状を仮定する。2) 与えられた ∂D^P に対し式③₂ 右辺の量を計算し、式①₂, ③₁ 及び④から得られる積分方程式を解く。積分方程式は有限部分の意味での積分を含むものとなる。解 ψ, ψ を式④に代入して ∂D^P 上の w を求める。もちろん極限計算を要する。3) 式③から R を計算し直す。具体的には

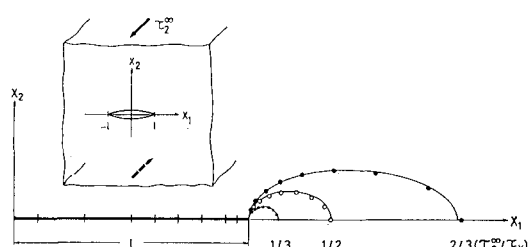
$$R_{\text{new}} = R_{\text{old}} + p \left(\frac{1}{\tau_1} \frac{\partial w}{\partial \theta} - R_{\text{old}} \right) \quad (0 < p \leq 1) \quad (6)$$

とする。pは係数である。4) Rの収束判定を行う。収束してあれば計算を打ち切り、そうでなければ2)へ戻る。

数値例として長さ2Lの直線要素の、無限遠方の一様な崩壊面の下での変形を解析する。本報では数値解析法として区分線形アイソパラメトリック要素を用い、積分方程式は Galerkin 法で解いた。この様な近似では、節点に於ける ∇w が $\log t$ の特異性を有するが、Galerkin 法の利用によつて数値的に安定する。なお式⑤を考慮して未知量は図3の $\psi^{n-1}, \psi^n (= \psi), \psi^2, \dots, \psi^m$ とした。また ∂D^P のモデル化に当つては節点の配置をθについて等間隔に行つ、式②, ⑥の微分は中央差分で求めた。また $p = 0.3$ とした。

図4は求めた塑性域形状を Hult & McClintock

の解[4]と比較したもので、よく一致している。



文献

[1] 小林、西村、土木学会論文報告集304、1980.

[2] Morgania, M. & Mukherjee, S., Int. J. Solids Structures, 17, 1981.

[3] Rice, J.R., Fracture II (ed. H. Lebowitz) Acad. Pr., 1968.

[4] Hult, J.A. & McClintock, F.A., Proc. 9th Int. Congr. Appl. Mech. 8, 1956.

図 4 (記号: 積分方程式、線: 正解)